

# LQG/LTR을 이용한 Haptic Interface의 강인제어

## Robust Control of a Haptic Interface Using LQG/LTR

이상철, 박현, 이수성, 이장명

(Sang-Chul Lee, Heon Park, Su-Sung Lee and Jang-Myung Lee)

**Abstract :** A newly designed haptic interface enables an operator to control a remote robot precisely. It transmits position information to the remote robot and feeds back the interaction force from it. A control algorithm of haptic interface has been studied to improve the robustness and stability to uncertain dynamic environments with a proposed contact dynamic model that incorporates human hand dynamics. A simplified hybrid parallel robot dynamic model for a 6 DOF haptic device was proposed to form a real time control system, which does not include nonlinear components. LQG/LTR scheme was adopted in this paper for the compensation of un-modeled dynamics. The recovery of the force from the remote robot at the haptic interface was demonstrated through the experiments.

**Keywords :** LQG/LTR, Haptic interface, contact dynamics, robust

### I. 서론

Haptic interface는 원격지로봇의 자세를 제어할 수 있는 6자유도의 운동을 생성할 수 있는 기구이다. 단순한 자세제어를 위해서는 원격지로부터의 화상정보만으로도 충분히 원격지로봇을 제어할 수 있다. 그러나 원격수술 등과 같은 정밀한 작업에는 시각정보 뿐만 아니라 손의 감각정보를 복원하여 조작자에게 제공할 수 있어야 한다[1]. 또한 조작자와 Haptic interface와의 접촉력을 원격지로봇에 전달하여 원격지로봇과 작업대상간의 접촉력을 발생시킬 수 있어야 한다. 이를 구현하기 위해서는 조작자와 Haptic interface, 원격지로봇과 작업대상과의 접촉력 유지를 위한 양방향제어가 필요하다[2]-[4].

원격지로봇과 작업대상과의 접촉력을 복원하기 위한 기준의 Haptic interface에 관한 연구는 환경접촉모델에 대한 접촉안정성 및 성능만을 고려해 관성, 마찰 등을 무시함으로써 미세한 기계적 임피던스제어에 어려움이 있었다[5]-[8]. 이를 극복하기 위해서는 Haptic interface의 동적특성을 고려한 힘제어가 필요하게 된다. 즉 Haptic interface의 동역학 방정식을 유도하여 관성, 중력 등에 대한 동적특성을 보상할 수 있어야 한다[9]-[12].

Haptic interface는 6자유도의 운동을 발생시키기 위해 직렬형 매니퓰레이터 3개를 조합한 병렬형 구조를 가지고 있다[13]. 따라서 Haptic interface의 동역학 방정식은 폐쇄형 해가 존재하는 역학으로부터 유도할 수 있다. 그러나 구해진 역동역학 방정식을 통한 힘제어는 계산상의 복잡성으로 인해 실시간 제어에 어려움이 있다. 따라서 본 논문에서는 각 링크의 질량을 무시하고 Haptic interface의 질량이 상판에 집중되어 있음을 가정하여 간략화 된 역동역학 방정식을 유도하였다.

구해진 역동역학 방정식의 힘-토크간의 관계식으로부터 관

절토크를 유도해 힘을 발생시킬 수 있으나 실제 조작자가 느끼는 힘은 조작자의 손과 Haptic interface 사이의 접촉동역학을 통해서 계산된다. 또한 구해진 역동역학 방정식은 모델링 오차를 포함하고 있으므로 이에 강인한 제어알고리즘이 요구된다. 본 논문에서는 조작자의 손과 Haptic interface 사이의 접촉동역학 모델을 제안하고 LQG/LTR 방법을 사용한 선형제어기를 설계하여 효과적으로 힘을 복원하고자 한다. LQG/LTR은 조직적으로 안정도-강인성 및 주파수역 성능을 고려할 수 있는 강인한 선형제어기 설계 방법이다[14]-[16].

본 논문에서는 먼저 2절에서 Haptic interface의 동역학 해석에 대해 설명하고 3절에서 Haptic interface와 조작자의 손과의 접촉동역학 모델을 제안하고 LQG/LTR 제어기의 설계에 대해 설명한다. 4절에서 설계된 제어기를 실제 플랜트에 적용하여 효과적으로 힘이 복원되는 실험결과를 보이며 5절에서 결론을 맺는다.

### II. Haptic Interface의 동역학 해석

그림 1의 Haptic interface는 병렬형 매니퓰레이터의 형태로서 폐쇄형 해가 존재하는 역기구학을 통해 동역학방정식을 유도할 수 있다. 하지만 이 역동역학 방정식은 그 계산과정의 복잡성으로 인해 실시간 제어에 어려움이 있다. 따라서 실시간 제어를 위한 간단한 동역학 방정식을 위해 다음과 같이 가정하였다.

[가정] Haptic interface의 모든 질량은 상판에 집중되어 있다.

위의 가정에 의해 상판만을 고려하여 간략화 된 동역학 방정식을 구한다.

#### 1. 상판의 운동에너지와 위치에너지

상판의 질량을  $m_m$ , 상판의 직교좌표상의 속도를  $v$ , 직교좌표상의 각 축을 기준으로 한 각속도를  $w$ 라고 하면 상판의 운동에너지는 아래와 같이 구해질 수 있다.

$$K_m = \frac{1}{2} m_m v^T v + \frac{1}{2} \omega^T I \omega \quad (I)$$

논문접수 : 2001. 11. 1., 채택확정 : 2002. 6. 8.

이상철 : 부산대학교 전자공학과 지능로보트 실험실

(ss2110@hyowon.pusan.ac.kr)

박현 : (주)현대시스템 교환 제어 개발실(blueheon@hanmail.net)

이수성 : 부산대학교 전자공학과(lsora@dreamwiz.com)

이장명 : 부산대학교 전자공학과(jmlee@hyowon.cc.pusan.ac.kr)

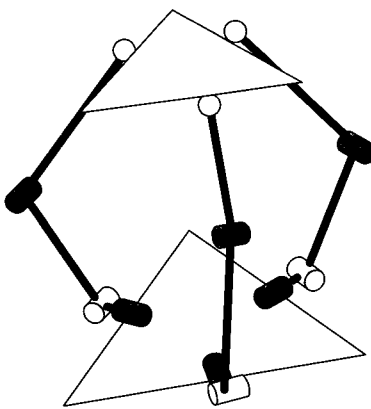


그림 1. Haptic interface.  
Fig. 1. Haptic interface.

여기서,  $I$ 는 관성모멘트(moment of inertia)를 나타내며 상판의 질량  $m_m$ 을 점질량(point mass)으로 계산하면 관성모멘트  $I$ 는 아래와 같이 정의된다.

$$I = m_m r^2 = \begin{pmatrix} m_m r_x^2 & 0 & 0 \\ 0 & m_m r_y^2 & 0 \\ 0 & 0 & m_m r_z^2 \end{pmatrix}^T = \begin{pmatrix} I_{xx} & 0 & 0 \\ 0 & I_{yy} & 0 \\ 0 & 0 & I_{zz} \end{pmatrix} \quad (2)$$

여기서  $r$ 은 직교좌표상의 각 축과 상판 질량과의 거리이며  $r_x, r_y, r_z$ 은 각각  $x, y, z$  축과 상판질량과의 거리이다.

속도와 각속도를 나타내는 벡터  $\dot{x} = [v^T \ w^T]^T = [\dot{x} \ \dot{y} \ \dot{z} \ \dot{\alpha} \ \dot{\beta} \ \dot{\gamma}]^T$ , 상판의 질량 및 관성모멘트를 나타내는 행렬을  $M_m$ 이라 하면 운동에너지  $K_m$ 은 아래와 같이 간단히 표현된다.

$$K_m = \frac{1}{2} \dot{x}^T M_m \dot{x} \quad (3)$$

여기서,

$$M_m = \begin{bmatrix} m_m & 0 & 0 & 0 & 0 & 0 \\ 0 & m_m & 0 & 0 & 0 & 0 \\ 0 & 0 & m_m & 0 & 0 & 0 \\ 0 & 0 & 0 & I_{xx} & 0 & 0 \\ 0 & 0 & 0 & 0 & I_{yy} & 0 \\ 0 & 0 & 0 & 0 & 0 & I_{zz} \end{bmatrix}$$

상판의 위치에너지는 아래와 같이 표현된다.

$$P_m = m_m g z \quad (4)$$

여기서  $g$ 는 중력가속도,  $z$ 는 직교좌표상의  $z$ 축 방향의 상판의 위치를 나타낸다.

## 2. Haptic Interface의 동역학

구해진 운동에너지와 위치에너지로부터 직교좌표 공간상의 Lagrange's equation을 사용하여 운동방정식을 구할 수 있다. 직교좌표상의 힘  $F$ 는 다음과 같이 정의된다.

$$F = \frac{d}{dt} \frac{\partial L}{\partial \dot{x}} - \frac{\partial L}{\partial x} \quad (5)$$

여기서,  $L$ 은 Lagrangian 연산자로 운동에너지와 위치에너지의 차로 정의되며 다음과 같이 정의되어진다.

$$L = K_m - P_m \quad (6)$$

이와 같이 계산되어진 동역학방정식은 고차의 비선형 미분방정식으로 구해지며, 이를 행렬의 형태로 다시 쓰면 아래와 같다.

$$M(x) \ddot{x} + V(x, \dot{x}) + G(x) = F \quad (7)$$

여기서,  $F$ 는 직교 좌표상에서 end-effect가 받는 힘이며,  $M(x)$ 는 관성행렬,  $V(x, \dot{x})$ 는 코리올리 및 원심력 벡터 그리고  $G(x)$ 는 중력항이다.

구해진 동역학 방정식을 이용하여 동적특성을 보상하고 접촉력  $f_c$ 를 유지하기 위해서 식(5)는 다음과 같이 다시 쓸 수 있다.

$$M(x) \ddot{x} + V(x, \dot{x}) + G(x) = F + f_c \quad (8)$$

관절모터가 발생시켜야 할 토크  $\tau$ 는 힘-토크 관계식  $F = J(x)^T \tau$ 를 이용하면

$$F = J(x)^T \tau \quad (9)$$

$$\tau = J(x)^{-T} (M(x) \ddot{x} + V(x, \dot{x}) + G(x) - f_c) \quad (10)$$

식(7)의 힘-토크 관계식을 이용하여 관절모터가 발생시켜야 할 토크는  $f_c$ 를 제어입력으로 하는 식(10)과 같이 표현된다.

## III. LQG/LTR제어기

센서를 통해 획득되는 힘 정보는 조작자의 손과 Haptic interface사이의 관계로 모델링될 수 있다. 조작자의 손과 Haptic interface와의 관계로서 환경접촉모델을 제안한다. 실제 필연적으로 왜란 및 동역학 모델오차가 존재하기 때문에 LQG/LTR 방법을 사용하여 이에 강인한 선형제어기를 설계한다[17].

### 1. 접촉 동역학 모델

Haptic interface의 동적특성을 보상해 주기위한 접촉 동역학 모델은 아래의 그림과 같다.

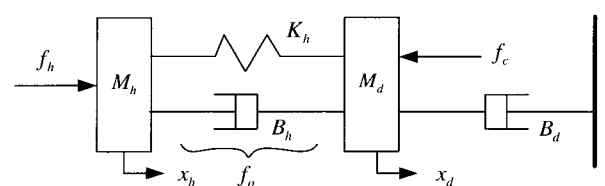


그림 2. 접촉 모델.

Fig. 2. Model of contact environment.

제안된 접촉 동역학 모델에서 조작자의 손을 스프링-댐퍼로 모델링하였다.  $x_h$ 는 조작자의 손의 변위를 나타내며  $x_d$ 는 Haptic interface의 변위를 나타낸다.  $M_d$ 와  $B_d$ 는 각각 동역학 모델 오차에 기인한 질량, 점성마찰이다.  $M_h$ 는 조작자의 손의 질량이며,  $K_h$ ,  $B_h$ 는 각각 조작자의 손의 탄성계수, 댐핑계수이며.  $f_h$ 는 인간이 Haptic interface에 가하는 힘으로서 실제는 시스템을 안정화 시키는 역할을 한다.  $f_c$ 는 제어입력이며  $f_o$ 는 인간과 Haptic interface 사이에 작용하는 힘으로 F/T 센서를 통해 측정되는 힘이다.

힘을 복원하는 측면에서  $x_h$ 가 고정되었다고 가정하면 그림 2의 접촉 동역학 모델은 아래의 수식으로 표현된다.

$$\ddot{x}_h = -\frac{1}{M_h} \{K_h(x_h - x_d) + B_h(\dot{x}_h - \dot{x}_d) - f_h\} \quad (11-a)$$

$$\ddot{x}_d = -\frac{1}{M_d} \{K_h(x_d - x_h) + B_h(\dot{x}_d - \dot{x}_h) + B_d x_d + f_c\} \quad (11-b)$$

$$f_o = K_h x_d + B_h \dot{x}_d \quad (11-c)$$

여기서, 상태벡터  $x = [x_d \ x_h \ \dot{x}_d \ \dot{x}_h]^T$ 이며 상태방정식을 구하면 다음과 같다.

$$\dot{x}(t) = Ax(t) + Bu(t) \quad (12-a)$$

$$y(t) = Cx(t) \quad (12-b)$$

여기서, 행렬  $A$ ,  $B$ ,  $C$ 는 아래와 같이 정의된다.

$$A = \begin{pmatrix} 0 & 0 & 1 & 0 \\ 0 & 0 & 0 & 1 \\ -\frac{K_h}{M_d} & \frac{K_h}{M_d} & -\frac{B_d + B_h}{M_d} & \frac{B_h}{M_d} \\ \frac{K_h}{M_h} & -\frac{K_h}{M_h} & \frac{B_h}{M_h} & -\frac{B_h}{M_d} \end{pmatrix}$$

$$B = \begin{pmatrix} 0 \\ 0 \\ \frac{1}{M_d} \\ 0 \end{pmatrix}, \quad C = (K_h \ 0 \ B_h \ 0)$$

## 2. LQG/LTR 제어기

LQG/LTR 제어기의 구조는 그림 3과 같다. LQG/LTR 제어기의 설계절차는 먼저, 식(12-a), 식(12-b)의 설계플랜트모델에 대해 바람직한 루프형상을 얻을 수 있는 목표필터루프(target filter loop)를 설계하고 둘째로, 보상된 시스템의 루프 전달함수의 특이값을 목표필터루프의 특이값 형상으로 회복 하는 루프전달회복(loop transfer recovery) 단계로 구분된다[18].

일반적으로 LQG/LTR 제어기를 설계시 플랜트는 안정가능(stabilizable)하고 검출가능(detectable)해야 하며 최소위상(minimum phase), 비특이(nonsingular) 시스템이어야 한다[20].

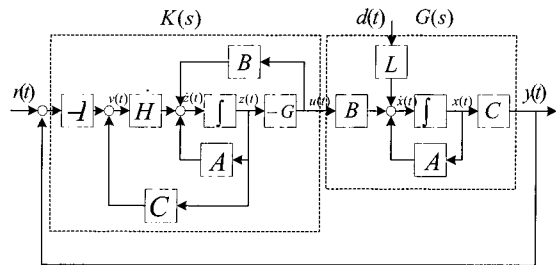


그림 3. LQG/LTR 제어기.

Fig. 3. LQG/LTR controller.

## 3. 목표필터루프 설계

목표필터루프 설계는 폐루프 시스템이 요구되는 명령추종 성능 및 안정도-강인성 조건을 만족하도록 루프의 형상을 결정하는 과정으로서 필터게인행렬  $H$ , 설계파라메타  $L$ 를 선정한다[19].

프로세스와 센서에 대한 잡음을 백색잡음으로 가정하여 식(12-a), 식(12-b)로 표현되는 설계플랜트모델을 수정하면 아래와 같다.

$$\dot{x}(t) = Ax(t) + Bu(t) + L\xi(t) \quad (13-a)$$

$$y(t) = Cx(t) + \theta(t) \quad (13-b)$$

여기서  $\xi(t)$ 와  $\theta(t)$ 는 평균이 0인 백색잡음으로 각각 아래와 같다.

$$E[\xi(t)] = 0, \quad E[\xi(t)^T \xi(\tau)] = I\delta(t-\tau) \quad (14-a)$$

$$E[\theta(t)] = 0, \quad E[\theta(t)^T \theta(\tau)] = \mu I\delta(t-\tau) \quad (14-b)$$

목표필터루프는 모델기준보상기(model based compensator)로서 설계플랜트모델과 같은 차수의 칼만필터이다. 센서잡음에 대한 Kalman필터문제를 해결하면 아래의 필터게인행렬  $H$ 를 선정할 수 있다.

$$H = \frac{1}{\mu} PC^T \quad (15)$$

여기서  $P$ 는 아래의 필터대수 Riccati식으로부터 구할 수 있다.

$$AP + PA^T + LL^T - \frac{1}{\mu} PC^T CP = 0 \quad (16)$$

선정된  $H$ 에 따른 목표필터루프의 전달함수는 아래와 같이 표현된다.

$$G_F(s) = C(sI - A)^{-1} H \quad (17)$$

설계파라메타  $L$ 은 저주파 및 고주파에서 특이값을 일치시키기 위해 선정된다. 설계플랜트모델은 자체에 자유적분요소를 포함하는 특이시스템(Singular System)이며 단일입출력 시스템이므로 자유적분요소를 제외한 모든 극점이 제거되도록 함으로써 행렬  $L$ 을 구할 수 있다[20].

자유적분요소를 제외한 모든 극점을 제거하기 위해서는 먼저 목표필터루프의 개루프 전달함수인 아래식의  $(n \times 1)$  벡터인  $L$ 의 각 요소를 1로 하고 나머지 요소를 0으로 하여  $n$  개의 개루프 전달함수를 구한다.

$$G_{FOL}(s) = C(sI - A)^{-1} L \quad (18)$$

이 개루프 전달함수의 영점다항식의 계수를 열벡터로 하는 행렬  $Z_c$ 를 구하면 아래와 같은 설계파라메타  $L$ 을 선정할 수 있는 선형방정식을 만들 수 있다. 여기서  $z_d$ 는 자유적분요소를 제외한 바람직한 영점다항식의 계수벡터이다.

$$Z_c L = z_d \quad (19)$$

$L$ 은 아래의 식으로부터 선정되며, 이때 해  $L$ 이 유일하게 존재하기 위해서는  $\text{rank}(Z_c) = n$ 이어야 한다.

$$L = Z_c^{-1} z_d \quad (20)$$

설계파라메타  $\mu$ 는 교차주파수 혹은 대역폭을 결정하는데 사용된다. 먼저 안정도-강인성을 만족하기 위한 안정도-강인성 판별식은 아래와 같다.

$$|C(jw)| < E_{\max}(w)^{-1} \quad (21)$$

공칭 페루프 전달함수를  $C(jw)$ , 출력측으로 반영되는 최대 모델링오차를  $E_{\max}(w)$ 라고 할 때, 위 식을 만족하는 교차주파수의 범위는 아래와 같이 제한되어야 한다.

$$w_c < w_m \quad (22)$$

여기서  $w_c$ 는 교차주파수이며,  $w_m$ 은  $|E(jw)| = 1$  되는 주파수이다.

설계파라메타  $\mu$ 에 따라 루프형상이 아래 위로 이동하게 되는데 이로써 요구되는 교차주파수 혹은 대역폭을 만족시킬 수 있다.

#### 4. 루프전달회복

루프전달회복은 페루프시스템을 목표루프필터에 근사적으로 일치시키는 과정으로 제어개인행렬  $G$ 를 선정하는 과정이다. 루프전달회복은 저가제어 LQR문제(cheap control linear quadratic regulator problem)로 다음 식(21)의 제어대수 Riccati식의 해  $K$ 를 구하여 아래의 식(22)의 제어개인행렬  $G$ 를 구한다.

$$KA + A^T K + C^T C - \frac{1}{\rho} KBB^T K = 0 \quad (23)$$

$$G = \frac{1}{\rho} B^T K \quad (24)$$

선정된 제어개인행렬  $G$ 로써 보상기의 전달함수  $K(s)$ 는 다음과 같이 정의된다.

$$K(s) = G(sI - A + BG + HC)H \quad (25)$$

#### 5. 제어기설계

측정된 조작자의 손의 무게  $M_h \approx 10\text{kg}$ 이며, 조작자의 손의 탄성계수  $K_h$ , 떠핑계수  $B_h$ 는 각각  $10\text{N/m}$ ,  $2\text{N/m/s}$ 로 하였다. Haptic interface의 상관질량  $m_m$ 의 오차를 10%로 하면  $M_d = 1\text{kg}$ 이며, 점성마찰계수  $B_d = 10\text{N/m/s}$ 로 두었다.

주어진 설계플랜트모델의 시스템 행렬  $A, B, C$ 는 아래와 같다.

$$A = \begin{pmatrix} 0 & 0 & 1 & 0 \\ 0 & 0 & 0 & 1 \\ -10 & 10 & -12 & 2 \\ 1 & -1 & 0.2 & -0.2 \end{pmatrix}, B = \begin{pmatrix} 0 \\ 0 \\ 1 \\ 0 \end{pmatrix}$$

$$C = (10 \ 0 \ 2 \ 0)$$

특이 단일입출력 시스템인 플랜트의 목표루프필터를 구하기 위해서는 목표루프필터의 개루프 전달함수의  $L$ 의 각 요소를 1로 하고 나머지 요소를 0으로 하여  $n$  개의 개루프 전달함수를 구한다. 이 개루프 전달함수의 영점다항식의 계수를 열벡터로 하는 행렬  $Z_c$ 를 구하면 아래와 같다.

$$Z_c = \begin{pmatrix} 100 & 0 & 10 & 100 \\ 30 & 100 & 4 & 40 \\ 102 & 20 & 10.4 & 4 \\ 10 & 0 & 2 & 0 \end{pmatrix}$$

바람직한 영점다항식  $z_d$ 는 자유적분요소를 제외한 개루프 특성방정식의 계수로 이루는 벡터로 다음과 같다.

$$z_d = (10 \ 13 \ 12.2 \ 1)^T$$

행렬  $L$ 은 다음과 같다.

$$L = (0.1 \ 0.1 \ 0 \ 0)^T$$

최대 모델링오차  $E_{\max}(w) = 0.2w$ 로 정의하면, 교차주파수  $w_c$ 를  $5\text{rad/s}$ 로 선정할 수 있다. 이 때, 설계파라메타  $\mu = 0.03$ 로 선정된다.

선정된 행렬  $L$ 과 설계파라메타  $\mu$ 로써 칼만필터계인  $H$ 를 구하면 다음과 같다.

$$H = (0.5774 \ 0.5774 \ 0 \ 0)^T$$

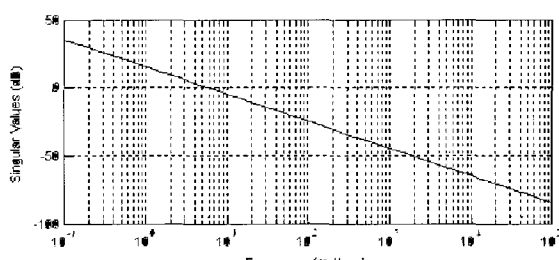


그림 4. 설계된 목표필터루프의 특이선도.

Fig. 4. Singular value plot of target loop filter.

그림 4는 설계된 목표필터루프의 특이선도로서 자유적분요소를 제외한 모든 극점이 제거되었음을 볼 수 있다.

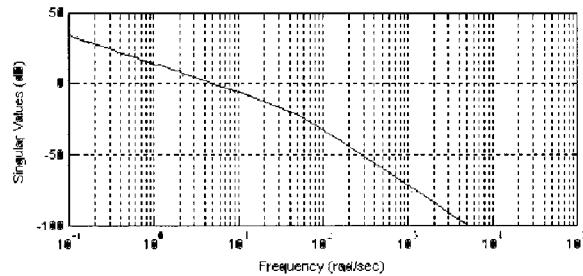


그림 5. 회복된 개루프 TFM 특이선도.

Fig. 5. Singular value plot of recovered loop.

루프전달회복을 위해 설계파라메타  $\rho = 2 \times 10^{-3}$  으로 정의 할 경우, 그림 5에서 만족할 만한 루프전달회복을 얻을 수 있음을 볼 수 있으며 이때 제어계인행렬  $G$ 는 다음과 같다.

$$G = [213.9949 \quad 9.6119 \quad 38.7283 \quad 3.4326]$$

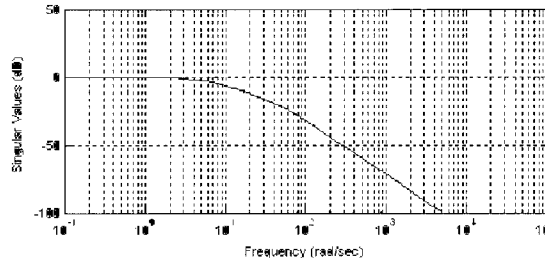


그림 6. 폐루프 시스템의 특이선도.

Fig. 6. Singular value plot of closed loop.

그림 6은 폐루프 시스템의 특이선도로서 설계된 제어기는 대략 5rad/s 까지는 좋은 명령추종 성능과 고주파에서 좋은 잡음제거 성능을 갖는 것을 볼 수 있다.

#### IV. 실험결과

실험에 사용된 시스템은 그림 7의 블록도와 같다. 위의 그림에서 Haptic interface가 local control site에 위치하여 remote task site에서 전송된 힘 정보를 복원하며 현재의 위치정보를 전송 한다. remote task site에 위치한 원격지 로봇(slave robot)은 Haptic interface의 위치정보에 따라 자세제어를 하며 end-effect에 장착 된 F/T sensor의 힘 정보를 피드백(feed back)한다.

본 논문에서는 작업대상과 원격지 로봇의 접촉모델은 고려하지 않았으며 원격지 로봇이 전송하는 힘 정보를 변화시켜 원격지의 힘 정보를 복원하고 조작자가 Haptic interface를 움직였을 때에도 조작자의 손과 Haptic interface 사이의 접촉력이 유지되는가를 실험하였다.

설계된 LQG/LTR 제어기 및 동역학 방정식을 이용한 힘제어기는 Pentium 300MHz 를 사용하여 구현하였고 힘  $f_d$  를 발생시킬 수 있는 6 개의 관절모터 제어기는 87C196CA 마이크

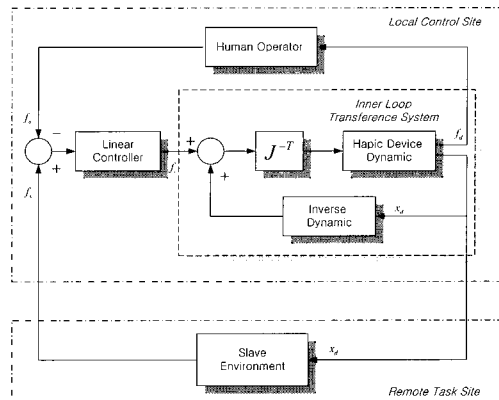


그림 7. 실험에 사용된 전체 시스템의 블록도.

Fig. 7. Block diagram of control system.

로 제어기를 사용하여 구현하였다. Haptic Interface의 힘  $f_o$  를 측정할 수 있는 센서로는 ATI INDUSTRIAL AUTOMATION 의 ISA F/T-16 model을 사용하였고 동역학 파라메타로서 상판의 질량은  $m_m = 10\text{kg}$  이다.

실험은 먼저 Haptic Interface를 움직이지 않고 있을 때, 힘  $f_s$  를 15N의 스텝입력으로 주어 출력  $f_o$  가  $f_s$  에 수렴하도록 하였다.

그림 8은 스텝입력에 대한 응답을 나타낸다. 점선으로 표시된 것은 개인이 1인 비례제어기를 사용했을 때의 스텝응답이며 실선으로 표시된 것은 LQG/LTR제어기를 사용하였을 때의 스텝응답이다. 그림 8로써 LQG/LTR 제어기를 사용하였을 때 힘추종 특성이 빨라짐을 알 수 있다.

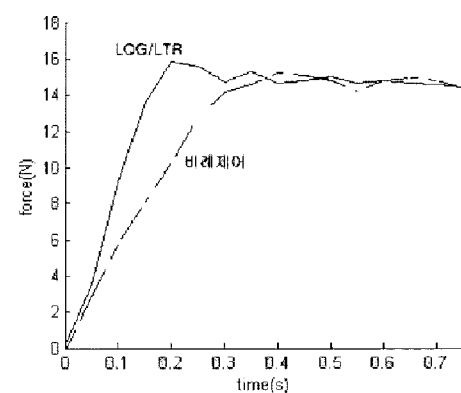


그림 8. 스텝응답.

Fig. 8. Step response.

다음 실험은 Haptic Interface 를 조작자가 움직였을 때에도 접촉력을 ON 으로 유지하도록 하는 실험이다.

그림 9는 시간에 따른 z방향의 웨이브를 나타낸 것이다. 그림 10은 F/T 센서로부터 측정한 힘이다. Haptic interface를 움직였을 때 운동을 발생시키면서 ON의 접촉력을 일정하게 유지할 수 있음을 볼 수 있다.

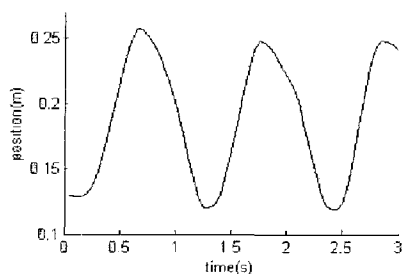


그림 9. Haptic Interface 의 궤적.

Fig. 9. Trajectory Haptic Interface.

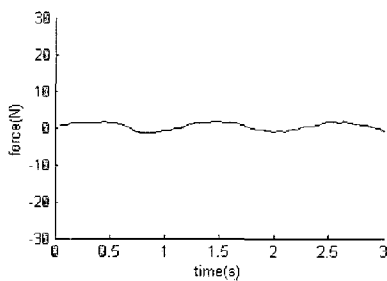


그림 10. Haptic Interface 를 움직였을 때 측정된 힘.

Fig. 10. Force from F/T sensor.

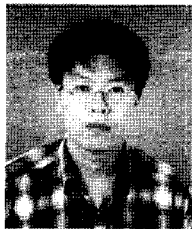
## V. 결론

본 논문에서는 Haptic Interface를 사용하여 원격지 로봇에 설치된 F/T 센서로부터의 힘 정보를 효과적으로 복원하도록 하였다. 실시간 제어를 실현하기 위하여 계산량을 줄이기 위해 상판의 질량 및 관성모멘트만을 고려한 간략화 된 역동역학 방정식을 유도하여 사용하였다. 제안된 접촉 동역학모델을 사용하여 LQG/LTR 방법을 적용한 강인한 선형제어기를 설계하였다. 설계된 제어기를 사용하여 원격지의 힘 정보를 효과적으로 복원하고 Haptic interface를 조작할 때에도 Haptic interface와 조작자의 손과의 접촉력을 일정하게 유지할 수 있음을 실험을 통해 검증하였다.

향후 원격지로봇을 제어하는 양방향제어에 있어서 필연적인 시간지연 및 원격지로봇의 접촉모델을 고려한 강인한 제어에 관해 연구가 수행되어져야 할 것이다.

## 참고문헌

- [1] 진병대, 우기영, 권동수, “5각 관절 병렬 구조를 이용한 6자유도 힘 반사형 마스터 콘트롤러,” 제어자동화시스템 공학논문지, Vol. 5, No. 3, April, 1999.
- [2] Richard J. Adams and Blake Hannaford, “Stable haptic interaction with virtual environments,” *IEEE Transactions on Robotics and Automation*, Vol. 15, No. 3, June, 1999.
- [3] Noriaki ANDO, Masahito OHTA, Kouhei GONDA, Hideki HASHIMOTO, “Micro teleoperation with parallel manipulator,” *IEEE International Conference on Advanced Intelligent Mechatronics Proceedings*, Vol. 8, No. 12, July, 2001.
- [4] Noriaki ANDO, Masahito OHTA, Kouhei GONDA, “Micro teleoperation with parallel manipulator,” *IEEE International Conference on Advanced Intelligent Mechatronics Proceedings*, Vol. 8, No. 12, July, 2001.
- [5] J. E. Colgate and J. M. Brown, “Factors affecting the Z-Width of a haptic display,” *Proc. of the 1994 IEEE Inter. Conf. on Robotics and Automation*, 1994.
- [6] P. Millman and J. Edward Colgate, “Design of a high performance interface to virtual environments,” *IEEE Annual Virtual Reality International Symposium*, 1993.
- [7] Manuel Moreyra and Blake Hannaford, “A practical measure of dynamic response of haptic devices,” *Proc. of the 1998 IEEE International Conference on Robotics and Automation*, 1998.
- [8] Richard J. Adams and Blake Hannaford, “Stable haptic interaction with virtual environment,” *IEEE Transactions on robotics and Automation*, 1999.
- [9] Dong-Soo Kwon, Ki-Young Woo, “Control of the haptic Interface with friction compensation and Its performance evaluation,” *Proceedings of the 2000 IEEE/RSJ International Conference on Intelligent Robots and Systems*, Vol. 2, pp. 955-960, February, 2000.
- [10] Toshiyuki Ohashi, Peter Szemes, Peter Korondi, Hideki Hashimoto, “Nonlinear disturbance compensation for haptic device,” *Proceedings of the IEEE International Symposium*, Vol. 1, pp. 304-309, January, 1999.
- [11] Dong-Soo Kwon, Ki-Young Woo, Hyung-Suk Choi, “Haptic control of the master hand controller for a microsurgical telerobot system,” *Proceedings of the 1999 IEEE International Conference on Robotics & Automation*, Detroit, Michigan, Vol. 3, pp. 1722-1727, March, 1999.
- [12] C. L. Clover, “A control-system architecture for robots used to simulate dynamic force and moment interaction between humans and virtual objects,” *IEEE Transactions on Systems, Man & Cybernetics-Part C, Applications & Reviews*, Vol. 29, No. 4, November, 1999.
- [13] 이수성, 한승준, 이원구, 하성기, 이장명, “원격 작업을 위한 6자유도 Haptic 인터페이스 설계,” 대한전자공학회 부산경남지부 추계합동학술논문발표회논문집, pp. 323-328, December, 1998.
- [14] Athans, M. “A tutorial on the LQG/LTR method,” *Proceedings of the American Control conference*, Seattle, WA, pp. 1289-1296, 1986.
- [15] Stein, G. and Athans, M., “The LQG/LTR procedure for multivariable feedback control design”, *IEEE Transactions on A. C.*, Vol. AC-32, pp. 105-114, 1987.
- [16] 이승국, 이명의, 권오규, “견실한 다변수 제어에 의한 모형 헬리콥터의 자세제어기 설계 및 실현,” *제어자동화시스템공학논문지*, Vol. 4, No. 1, February, 1998.
- [17] A. Grewal, V. J. Modi, “Dynamics and control of flexible multibody systems: An application to orbiting platforms,” *IEEE International conference on Systems, Man and Cybernetics*, Vol. 3, pp. 2093-2098, March, 1995.
- [18] Xu gang and Cao Guangzhong, “On the LQG and LQG/LTR methodology,” *Proceedings of the Autonomous Decentralized Systems*, 2000.
- [19] Rajiva Prakash, “Target feedback loop/loop transfer recovery (TFL/LTR) robust control design procedure,” *Proceedings of the 29th Conference on Decision and Control*, October, 1990.
- [20] 한성익, 김종식, “LQG/LTR 제어를 위한 루프형성기법에 관한 연구,” *Proceedings of the KACC*, pp. 1028-1033, October, 1992.



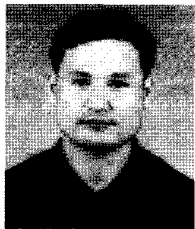
**이상철**

2000년 동아대학교 전자공학과 졸업(공학사). 2002년 부산대학교 전자공학과 졸업(공학석사). 관심분야는 원격제어, 실시간 운영체제등.



**박현**

1998년 부산대학교 전자공학과 졸업(공학사). 2002년 부산대학교 전자공학과 졸업(공학석사). 관심분야는 원격제어, 비전응용시스템등.



**이수성**

1998년 충남대학교 전자공학과 졸업(공학사). 2002년 부산대학교 박사(공학박사). 주요 관심분야는 원격제어 기반의 의료용 로봇등.



**이장명**

현재 부산대학교 공과대학 전자공학과 교수. 부산대학교 컴퓨터 및 정보통신 연구소 소장. 제어 자동화 시스템공학 논문지 제5권, 제1호, 참조.